

## ФИЗИКО-МАТЕМАТИЧЕСКАЯ МОДЕЛЬ ИЗНАШИВАНИЯ ГАЗОТЕРМИЧЕСКИХ ПОКРЫТИЙ НА ОПОРНЫХ ПОВЕРХНОСТЯХ ПРЕССОВЫХ ВАЛОВ В УСЛОВИЯХ ФРЕТТИНГ-КОРРОЗИИ

Белорусский национальный технический университет  
Минск, Беларусь

Развитие процессов фреттинг-коррозии характеризуется тремя стадиями разрушения поверхностного слоя. Если предположить, что преобладающими являются усталостные и коррозионные процессы, то этот вид поверхностного разрушения должен вызываться знакопеременными пластическими деформациями областей, не участвующих в непосредственном контакте (зоны повреждаемости). В таких зонах происходит разрыхление металла, что является своеобразной подготовкой материала к последующему разрушению с образованием свободных поверхностей, которые активно окисляются. Прогрессируя, этот процесс сопровождается выделением продуктов разрушения в виде окислов и металлических частиц. Математическое описание такого явления представляет определенные трудности в связи с многообразием физико-химических процессов, сопровождающих фреттинг-коррозию [1, 2, 3].

Известно, что процессы пластического деформирования сопровождаются рассеянием в металле части затраченной внешней работы в результате структурных изменений [4, 5]. При фреттинг-коррозии величина рассеянной энергии будет определяться не только пластической деформацией, но и интенсивностью окислительных процессов, и величиной изменения площади свободных поверхностей. Используя принципы неравновесной термодинамики необратимых процессов, описываемых с помощью диссипативной функции, авторы [6] предложили модель изнашивания материала при фреттинг-коррозии:

$$I = a_1 p A N + (a_2 + a_3 p + a_4 p^2) \frac{N}{f}, \quad (1)$$

где  $p$  – удельная нагрузка;  $A$  – амплитуда скольжения;  $N$  – число циклов нагружения;  $f$  – частота колебаний;  $a_1 \dots a_4$  – коэффициенты, равные:

$$a_1 = -\frac{2k\mu}{c_{11}\Delta\sigma_m}, \quad c_{11} = \frac{6}{d\rho_m}, \quad (2)$$

$$a_2 = \frac{v_0 c_{11} \Delta\sigma_m (c_5 A_c - c_6 \Delta\sigma_0 - c_7 \Delta\sigma_m) + c_5 A_c^2 + c_8 \Delta\sigma_0 - 2c_6 \Delta\sigma_0 A_c - c_7 \Delta\sigma_m A_c + c_9 \Delta\sigma_0 \Delta\sigma_m}{c_{11} \Delta\sigma_m}, \quad (3)$$

$$a_3 = \frac{(v_0 c_2 c_{11} \Delta\sigma_m + 2c_2 A_c - 2c_3 \Delta\sigma_0 - c_4 \Delta\sigma_m) b k_5}{c_{11} \Delta\sigma_m \beta}, \quad (4)$$

$$a_4 = \frac{c_1 k_5^2 (\eta_1 + \frac{1}{2} \eta_3 F_{TP}^2)}{c_{11} \Delta\sigma_m \beta^2}, \quad (5)$$

$$b = \frac{1}{12} (\sqrt{\eta_1 + \eta_2 F_{TP} + \eta_3 F_{TP}^2} + 4 \sqrt{\eta_1 + \frac{1}{\sqrt{2}} F_{TP} \eta_2 + \frac{1}{2} \eta_3 F_{TP}^2} + \sqrt{\eta_1 - \eta_2 F_{TP} + \eta_3 F_{TP}^2} + 4 \sqrt{\eta_1 - \frac{1}{\sqrt{2}} F_{TP} \eta_2 + \frac{1}{2} \eta_3 F_{TP}^2} + 2\sqrt{\eta_1}),$$

где  $\eta_1 \dots \eta_3$ ,  $c_1 \dots c_9$  – постоянные;  $k$  – постоянная, характеризующая долю поверхностной энергии;  $k_5$  – коэффициент пропорциональности;  $\mu$  – коэффициент трения скольжения;  $d$  – размер частиц износа;  $\rho_m$  – плотность материала;  $v_0$  – стехиометрический коэффициент окисла в уравнении реакции;  $\Delta\sigma_m$  – изменение удельной поверхностной энергии металла;  $\Delta\sigma_0$  – изменение удельной поверхностной энергии окисла;  $A_c$  – сродство химической реакции;  $F_{TR}$  – коэффициент трения покоя.

Анализируя формулы (1) – (5) можно сделать вывод, что износ материала при фреттинг-коррозии имеет параболическую зависимость от удельной нагрузки  $p$ , гиперболическую – от частоты колебаний  $f$ , линейную от амплитуды скольжения  $A$  и количества циклов  $N$ . Из уравнений (2) и (5) видно, что коэффициенты  $a_1$  и  $a_4$  не зависят от химических характеристик материала и среды, в которой протекает фреттинг-коррозия, а являются функциями физических свойств материала (поверхностной энергии, плотности и склонности к пластическому деформированию), а также условий трения, т.е. эти члены уравнения (1) определяются физико-механическими факторами фреттинг-коррозии. Рассматривая уравнения (3) и (4), можно сделать вывод, что коэффициенты  $a_2$  и  $a_3$  отражают физико-механические и химические свойства материала. Причем коэффициент  $a_2$  больше зависит от химических факторов, чем коэффициент  $a_3$ , т.к. химическое сродство  $A_c$  представлено второй степенью, а коэффициент  $a_3$  также зависит и от условий трения (коэффициента трения покоя).

Чтобы рассмотреть более подробно зависимость коэффициентов  $a_2$  и  $a_3$  от химической активности газовой среды, в которой протекает фреттинг-коррозия, запишем уравнение для определения сродства химической реакции [7]:

$$A_c = -\sum_k \varphi_k \nu_k,$$

где  $\varphi_k$  – химический потенциал  $k$ -компонента реакции;

$\nu_k$  – стехиометрический коэффициент  $k$ -компонента реакции.

Так как при фреттинг-коррозии в химической реакции участвуют три компонента (материал, газовая среда и окислы), то можно записать:

$$A_c = \nu_m \varphi_m + \nu_g \varphi_g - \nu_0 \varphi_0, \quad (6)$$

где  $\varphi_m$ ,  $\varphi_g$ ,  $\varphi_0$  – химические потенциалы соответственно материала, газового компонента и окисла;

$\nu_m$ ,  $\nu_g$ ,  $\nu_0$  – стехиометрические коэффициенты соответственно материала, газового компонента и окисла.

Известно [8], что величина химического потенциала активного газового компонента в реакции  $\varphi_g$  зависит от его парциального давления:

$$\varphi_g = \varphi_g^0 + RT \ln \frac{P_g}{P_g^0}, \quad (7)$$

где  $\varphi_g^0$  – химический потенциал компонента в его стандартном состоянии;

$P_g^0$  – стандартное давление;  $P_g$  – парциальное давление активного компонента газа.

Сравнивая протекание фреттинг-коррозии, например, в среде кислорода и в среде воздуха при одинаковом давлении, согласно формуле (7) химический потенциал кислорода будет меньше химического потенциала воздуха, т.к. парциальное давление кислорода в воздухе ниже. Соответственно падение химического потенциала, согласно (3), (4) и (6), приведет к уменьшению коэффициентов  $a_2$  и  $a_3$ , т.е. при фреттинг-коррозии в среде воздуха износ будет меньше, чем в среде кислорода.

Из анализа зависимостей для коэффициентов  $a_1 - a_4$  можно сделать вывод о том, что разрушаемость при фреттинг-коррозии можно снизить, если уменьшить химическую активность среды. Но так как в нашем случае это невозможно, то необходимо подобрать такой материал покрытия, который будет обладать высокими прочностными свойствами, высокой износостойкостью и коррозионной стойкостью, низким коэффициентом трения.

Данная физико-математическая модель позволяет учесть влияние физико-механических свойств и триботехнических характеристик газотермических покрытий на их изнашивание в условиях фреттинг-коррозии.

Для упрощения обработки результатов исследований коэффициенты  $a_1 - a_4$  можно считать, применив способ наименьших квадратов.

Что бы определить удельную нагрузку, амплитуду и частоту колебаний в месте контакта «опорная поверхность вала - буксовая втулка» необходимо рассмотреть условия работы прессовых валов.

Определим, исходя из условий эксплуатации прессовых валов удельную нагрузку в месте контакта «опорная поверхность вала - буксовая втулка». Рассмотрим вначале случай, когда продольные оси валов расположены в одной вертикальной плоскости (см. рисунок 1 а). Если бомбировка валов соответствует их прогибу, а усилия дополнительного прижима с лицевой и приводной сторон равны между собой, то линейное давление  $q$  будет равномерным по всей длине рабочей части вала[9]:

$$q = \frac{G_B + P}{b} \quad \text{Н/мм,}$$

где  $G_B$  - вес верхнего вала (с подшипниками);  $P$  - суммарное усилие дополнительного прижима с лицевой и приводной сторон, Н;  $b$  - длина рабочей части вала, мм

Нагрузка на оба подшипника нижнего вала:

$$Q_{Ho} = G_H + G_B + P = G_H + qb \quad \text{Н,}$$

где  $G_H$  - вес нижнего вала, Н.

Нагрузка на оба подшипника верхнего вала, опирающегося на нижний, равна усилию дополнительного прижима:

$$Q_{Bo} = P = qb - G_B.$$

Реакция каждой из опор нижнего вала:

$$R = \frac{Q_{Ho}}{2}.$$

Обычно валы прессов расположены в двух вертикальных плоскостях (см. рисунок 1 б). С достаточной для расчета точностью можно принять, что рычаги, на которых закреплен верхний вал, расположены горизонтально. Тогда результирующую веса  $G_B$  верхнего вала и усилия  $P$  дополнительного прижима можно разложить на две составляющие:  $Q_{Ц}$  - давление между валами, направленное по линии соединения центров нижнего и верхнего валов, и  $Q_{ГОР}$  - нагрузку в горизонтальной плоскости вдоль рычагов:

$$Q_{ГОР} = (G_B + P) \cdot \operatorname{tg} \gamma = Q_{Ц} \cdot \sin \gamma,$$

где  $\gamma$  - угол между вертикальной и линией, соединяющей центры валов.

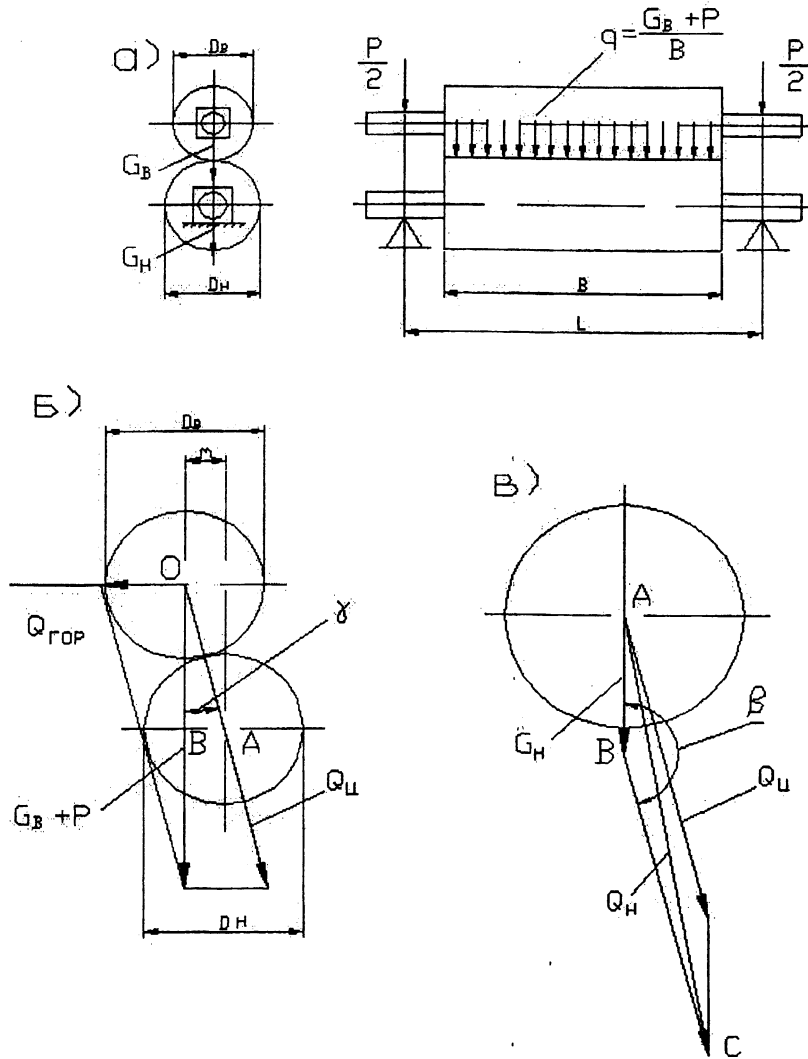
Из треугольника АОВ (см. рисунок 1 б)  $\sin \gamma = \frac{2m}{D_H + D_B}$ ,

где  $m$  - величина смещения между валами по горизонтали, мм;

$D_H$  и  $D_B$  - диаметры верхнего и нижнего валов, мм.

Тогда давление между валами по линии центров:  $Q_{Ц} = qb = \frac{G_B + P}{\cos \gamma}$ .

Нагрузка на оба подшипника нижнего вала (рисунок 1 в) равна:



а – валы расположены в одной плоскости; б – в двух вертикальных плоскостях  
в – общая нагрузка на подшипники нижнего вала  
Рисунок 1 - Схема нагружения валов прессы

$$Q_{H_0} = \sqrt{G_H^2 + G_{Ц}^2 - 2G_H \cdot Q_{Ц} \cdot \cos\beta} = \sqrt{G_H^2 + Q_{Ц}^2 + 2G_H \cdot Q_{Ц} \cdot \cos\gamma}$$

Нагрузка на оба подшипника верхнего вала составляет:

$$Q_{B_0} = \sqrt{P^2 + Q_{Гор}^2}$$

В сопряженной паре опорная поверхность вала - буксовая втулка имеет место переменный контакт двух цилиндрических поверхностей - напыленного покрытия и втулки подшипника (рисунок 2).

Площадью контакта является цилиндрическая поверхность, которая по мере износа уменьшается и стремится к узкому сектору, а в критическом случае (по недосмотру оператора, не своевременному техническому обслуживанию), стремится к линейному контакту.

Площадь контакта упрочненного вала и втулки ограничена сектором:

$$S = \pi \cdot r \frac{n^\circ}{180^\circ} \cdot L,$$

где  $L$  – длина площадки контакта (опорной поверхности);  
 $r$  – радиус вала в месте контакта.

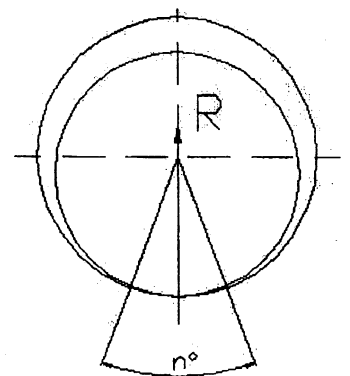


Рисунок 2 – Схема контакта опорной поверхности вала - буксовая втулка

Удельная нагрузка будет равна:

$$p = \frac{R}{S} \text{ МПа.}$$

Таким образом, зная конструктивные и геометрические параметры прессовых валов и используя представленную физико-математическую модель можно определить изнашивание опорной поверхности вала. Кроме того, определив удельную нагрузку в месте контакта «опорная поверхность вала - буксовая втулка», можно прогнозировать работоспособность полученного покрытия в зависимости от его прочности сцепления с основой.

## ЛИТЕРАТУРА

1. Алябьев, А.Я. Фреттинг-коррозия и ее структурно-энергетическое описание. – В сб.: «Надежность и долговечность авиационных газотурбинных двигателей». Киев, изд-во КИИ-ТА, вып. 1, 1971.
2. Алябьев, А.Я. и др. Структурные изменения при фреттинг-коррозии. – ФХММ, 1969, №6.
3. Алябьев, А.Я. и др. Энергетический анализ фреттинг-коррозии. – ФХММ, 1970, №5.
4. Иванова, В.С. и др. Усталость и хрупкость металлических материалов. – М.: Наука, 1968. – 452с.
5. Титченер, Э.Л., Бевер М.Б. Скрытая энергия при наклепе. – В сб.: «Успехи физики металлов». М.: Metallurgizdat, Т.4, 1961.
6. Голего, Н.Л., Алябьев, А.Я., Шевеля В.В. Фреттинг-коррозия металлов. – Киев: «Техніка», 1974 – 272с.
7. Хаазе, Р. Термодинамика необратимых процессов. – М., 1967. – 532с.
8. Сверлин, Р.А. Термодинамика твердого состояния. – М.: Metallurgizdat, 1963. – 520с.
9. Эйдлин, И.Я. Бумагоделательные и отделочные машины, 2 изд. – М., 1962. – 564с.

УДК 539.3

Чигарев А.В., Беляцкая Л.Н.

## КВАЗИСТАТИЧЕСКАЯ ПЕНЕТРАЦИЯ ИНДЕНТОРА В НЕОДНОРОДНОЕ ЖЕСТКОПЛАСТИЧЕСКОЕ ПОЛУПРОСТРАНСТВО ПРИ УСЛОВИИ ПОЛНОЙ ПЛАСТИЧНОСТИ

*Белорусский национальный технический университет  
Минск, Беларусь*

Рассмотрим вдавливание осесимметричного индентора в неоднородное жесткопластическое полупространство. Выберем цилиндрическую систему координат (рисунок 1) так что предел текучести  $k = k(\rho, \theta, z)$  тогда относительные к пределу текучести компоненты напряжений  $\sigma_{ij}$  являются функциями двух координат  $\rho, z$ .

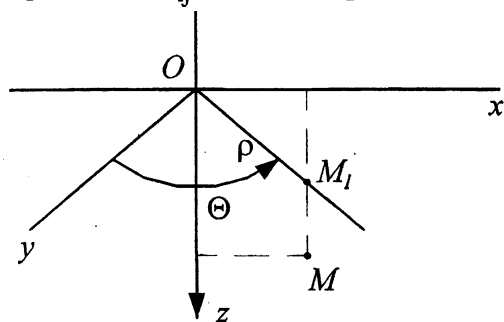


Рисунок 1

Рассмотрим условия полной пластичности:

$$\sigma_{1,2} = \sigma_{3,4}, \quad \sigma_3 = \sigma_1 + 2k, \quad (1)$$

где  $\sigma_i$  – компоненты главных напряжений,  $k$  – предел текучести.

Рассматривается пластическая неоднородность произвольного вида  $k(\rho, \theta, z)$ . Предел текучести полагается функцией трех координат точек пространства  $k(\rho, \theta, z) = k_0 G(\rho, \theta, z)$ , где  $G = G(\rho, \theta, z)$  – непрерывная дифференцируемая произвольная функция  $k_0 = \text{const}$ . За единицу напряжения принимается  $2k_0 = 1$ .